

ПРИКЛАДНАЯ ТЕОРИЯ КОДИРОВАНИЯ И СЖАТИЯ ИНФОРМАЦИИ

УДК 517.19

ОЦЕНКА СТОЙКОСТИ КОДОВОГО ЗАШУМЛЕНИЯ К l -КРАТНОМУ ЧАСТИЧНОМУ НАБЛЮДЕНИЮ В СЕТИ

И. И. Винничук, Ю. В. Косолапов

*Южный федеральный университет, г. Ростов-на-Дону, Россия***E-mail:** ilonavinnichuk144@gmail.com

Рассматривается сеть передачи данных с линейным кодированием в узлах. Предполагается, что наблюдатель подслушивает данные, передаваемые по некоторым рёбрам сети, а информация, поступающая на вход сети, защищается с помощью кодового зашумления. В рамках этой модели решается задача анализа стойкости кодового зашумления при многократном подслушивании в сети данных, соответствующих одному информационному слову. Получена формула вычисления стойкости после l перехватов для $l \geq 1$. Для одной сети в качестве примера рассмотрено применение полученной формулы при анализе стойкости кодового зашумления, основанного на коде Риды — Маллера $\mathcal{R}(1, 3)$.

Ключевые слова: сетевое кодирование, частичное наблюдение, кодовое зашумление, анализ стойкости.

Введение

В работе рассматривается передача данных по сети связи, в узлах которой над принятыми данными выполняются линейные операции. Такие сети отличаются от традиционных сетей, где узлы могут только принимать, временно хранить и передавать данные другим узлам [1]. В работах [2–4] показано, что с помощью методов сетевого кодирования можно увеличить пропускную способность сети. В частности, в [4] показано, как повысить производительность сети без радикальных изменений в инфраструктуре сети передачи данных. Отметим, что пропускная способность сети может быть увеличена в случае, когда получателей не менее двух.

Как и в случае каналов связи, в сетях связи также возникает задача защиты конфиденциальности передаваемых данных от несанкционированного ознакомления (наблюдения). Кроме естественных методов защиты, основанных на применении криптографических преобразований, в последнее время активно исследуются методы, специфичные для сетей [5, 6]. Эти методы основаны на том, что потенциальному наблюдателю доступны не все передаваемые по сети данные, а только их часть. Такой подход оправдан по той причине, что сеть, как правило, географически распределена и контролирование всех каналов сети для наблюдателя в большинстве случаев может оказаться неприемлемым или невозможным. Учитывая частичную доступность данных наблюдателю, одним из подходящих способов защиты является метод кодового зашумления, использованный в [7] для защиты данных от частичного наблюдения в канале.

По частично наблюдаемым данным подслушивающий может построить множество возможных информационных блоков (претендентов), которым соответствуют наблю-

даемые данные. Чем больше мощность этого множества претендентов, тем больше неопределённость наблюдателя относительного информационного блока и соответственно тем лучше защита. Часто, в силу особенности структуры, передаваемое сообщение (состоящее из набора информационных блоков) содержит повторяющиеся блоки. Эта особенность даёт возможность наблюдателю провести атаку многократного подслушивания с целью уменьшить мощность множества претендентов. В частности, наблюдатель может провести атаку многократного частичного подслушивания в сети. В случае применения метода кодового зашумления задача наблюдателя по сокращению множества претендентов усложняется за счёт того, что одному информационному блоку, в силу особенностей метода, соответствуют разные кодовые блоки.

Модель многократного частичного подслушивания в канале рассмотрена, например, в [8], где получена зависимость неопределённости наблюдателя от множеств наблюдаемых координат, когда данные перед отправкой в канал преобразуются с помощью метода кодового зашумления. В настоящей работе ставится задача оценки неопределённости наблюдателя в рамках модели многократного наблюдения частичных данных в сети с линейными преобразованиями в узлах, когда информационные блоки на входе сети кодируются с помощью метода кодового зашумления.

Работа организована следующим образом. В п. 1.1 и 1.2 приведены необходимые сведения о линейном сетевом кодировании и методе кодового зашумления соответственно. В п. 1.3 строится модель многократного перехвата в сети и вводится мера неопределённости наблюдателя после многократного перехвата. Оценке этой меры посвящён п. 2, где в п. 2.1 эта мера оценивается в случае однократного перехвата, а в п. 2.2 этот результат обобщается на случай многократного перехвата. В п. 2.3 приводится пример вычисления меры неопределённости для одной сети и кода Рида — Маллера $\mathcal{R}(1, 3)$.

1. Предварительные сведения и результаты

1.1. Сетевое кодирование

Приведём необходимые сведения из теории сетевого кодирования. Пусть \mathbb{F}_q — конечное поле. Сеть связи \mathcal{N} , состоящая из одного источника S , t получателей и промежуточных узлов, представляется в виде конечного связанного направленного графа. Стоит отметить, что для повышения пропускной способности сети необходимо выполнение условия $t \geq 2$ [2], однако результат, полученный в настоящей работе, может быть применён и для сетей, где $t = 1$. Поэтому здесь и далее с целью общности полагается, что t — произвольное натуральное число. Множества всех узлов и рёбер сети \mathcal{N} обозначим соответственно \mathcal{V} и \mathcal{E} ; $v(\mathcal{N}) = |\mathcal{V}|$, $e(\mathcal{N}) = |\mathcal{E}|$. Узлы сети будем обозначать прописными латинскими буквами, а рёбра — строчными. Для узла U множества входных и выходных рёбер обозначим $\text{In}(U)$ и $\text{Out}(U)$ соответственно. Будем полагать, что источник S имеет n мнимых входных ребер, множество которых обозначим $\text{Im}(S)$, $|\text{Im}(S)| = n$, и по мнимым входным рёбрам в источник S загружается вектор данных $\mathbf{x} \in \mathbb{F}_q^n$, который необходимо передать по сети: по каждому мнимому ребру загружается одна компонента вектора \mathbf{x} . Предполагается, что в сети \mathcal{N} нет помех.

Линейный сетевой код размерности n задается с помощью линейных локального и глобального кодирующих отображений, а именно: для узла U и канала $e \in \text{Out}(U)$ локальным кодирующим отображением называется отображение вида $\tilde{k}_e : \mathbb{F}_q^{|\text{In}(U)|} \rightarrow \mathbb{F}_q$, а глобальным кодирующим отображением для узла $U \neq S$ и канала $e \in \text{Out}(U)$ — отображение вида

$$\tilde{f}_e : \mathbb{F}_q^n \rightarrow \mathbb{F}_q,$$

однозначно определяемое с помощью упорядоченного множества $\{\tilde{f}_d(x) : d \in \text{In}(U)\}$ и локального отображения \tilde{k}_e для этого ребра e [9]. Так как сеть линейная, для узла U каждому локальному отображению \tilde{k}_e , $e \in \text{Out}(U)$, можно сопоставить вектор-столбец $\tilde{\mathbf{k}}_e \in \mathbb{F}_q^{|\text{In}(U)|}$, определяющий это отображение. Тогда узлу U соответствует $(|\text{In}(U)| \times |\text{Out}(U)|)$ -матрица локальных сетевых линейных преобразований, составленная из столбцов $\tilde{\mathbf{k}}_e$:

$$K_U = [\tilde{\mathbf{k}}_e]_{e \in \text{Out}(U)}. \quad (1)$$

Матрица (1) для U позволяет по значениям на входных рёбрах узла U вычислить значения на его выходных рёбрах. Линейному отображению \tilde{f}_e также можно однозначно сопоставить вектор-столбец $\tilde{\mathbf{f}}_e \in \mathbb{F}_q^n$ высоты n , определяющий это отображение:

$$\tilde{\mathbf{f}}_e = [f_{e,1}, \dots, f_{e,n}]^T, \quad (2)$$

где символом \mathbf{a}^T обозначаем транспонирование вектора \mathbf{a} . Отметим, что для источника S набор $(\tilde{\mathbf{f}}_e)_{e \in \text{Im}(S)}$ должен образовывать базис векторного пространства \mathbb{F}_q^n . Глобальное отображение \tilde{f}_e позволяет по вектору входных данных длины n определить элемент поля \mathbb{F}_q , передаваемый по ребру e . Другими словами, по известному входному вектору \mathbf{x} , загружаемому по мнимым рёбрам в источник S сети \mathcal{N} , для каждого ребра $e \in \mathcal{E}$ можно определить передаваемое по этому ребру значение, используя глобальное отображение (2) для этого ребра. Таким образом, по вектору \mathbf{x} можно построить вектор значений, передаваемых по рёбрам сети \mathcal{N} , вида

$$\mathcal{F}(\mathbf{x}) = (\tilde{f}_e(\mathbf{x}))_{e \in \mathcal{E}}. \quad (3)$$

Отметим, что координаты вектора (3) помечены рёбрами сети.

1.2. Кодовое зашумление

Предположим, что имеется наблюдатель, который может подслушивать значения, передаваемые по $\mu \leq e(\mathcal{N})$ рёбрам сети \mathcal{N} . Пусть для защиты от такого наблюдения применяется метод кодового зашумления [7]. Опишем этот метод. Пусть \mathcal{C} — линейный $(n, n - k)$ -код с порождающей матрицей $G = G_{(n-k) \times n}$ и проверочной матрицей $H = H_{k \times n}$. Построим матрицу $\tilde{G} = \tilde{G}_{n \times n}$ вида

$$\tilde{G} = \begin{pmatrix} G^* \\ G \end{pmatrix},$$

где $G^* = G_{k \times n}^*$ и $\text{rank}(\tilde{G}) = n$. Для кодирования информационного блока $\mathbf{s} \in \mathbb{F}_q^k$ случайным образом выбирается вектор $\mathbf{v} \in \mathbb{F}_q^{n-k}$ и выполняется операция

$$(\mathbf{s}||\mathbf{v})\tilde{G} = \mathbf{s}G^* + \mathbf{v}G = \mathbf{x}. \quad (4)$$

Правило кодирования задаёт отображение

$$\mathbf{s} \mapsto C_{\mathbf{s}} = \mathbf{s}G^* + \mathcal{C},$$

которое каждому информационному блоку $\mathbf{s} \in \mathbb{F}_q^k$ ставит в соответствие фактор-класс $C_{\mathbf{s}}$ из фактор-множества $\mathbb{F}_q^n/\mathcal{C}$. Заметим, что за счёт случайного аргумента \mathbf{v} в (4) один и тот же информационный блок \mathbf{s} в разные моменты времени может быть закодирован, в общем случае, в разные кодовые векторы. Напомним, что кодовый

вектор \mathbf{x} , полученный по правилу (4), по мнимым рёбрам загружается в источник S сети \mathcal{N} .

Так как, по предположению, в сети \mathcal{N} нет помех, каждый из t легитимных получателей примет исходный вектор \mathbf{x} . Согласно [10], матрицу H всегда можно выбрать так, что для любого информационного блока $\mathbf{s} \in \mathbb{F}_q^k$ и любого $\mathbf{x} \in C_s$ справедливо равенство

$$\mathbf{x}H^T = \mathbf{s}.$$

В соответствии с [10] код C будем называть базовым кодом, а код, построенный по C , — факторным кодом и обозначать (\mathbb{F}_q^n/C) .

1.3. Модель l -кратного наблюдения

Пусть C — базовый $(n, n - k)$ -код, (\mathbb{F}_q^n/C) — соответствующий факторный код, $\mathbf{s} \in \mathbb{F}_q^k$ — информационный блок, $\mathbf{x}(1), \dots, \mathbf{x}(l)$ — кодовые слова факторного кода (\mathbb{F}_q^n/C) , соответствующие информационному блоку \mathbf{s} в моменты времени $1, \dots, l$, $l \geq 1$. Случайный вектор, моделирующий множество информационных векторов, обозначим \mathbf{S} , а через \mathbf{X}_i — случайный вектор, моделирующий кодовые векторы в момент времени i , $i \in \{1, \dots, l\}$. Пусть \mathcal{T}_i — множество рёбер, наблюдаемое в момент времени i , $i \in \{1, \dots, l\}$, $\mathcal{T}_i \subseteq \mathcal{E}$, $|\mathcal{T}_i| = \mu_i$. Отметим, что множество $\{\mathcal{T}_i : i = 1, \dots, l\}$ может содержать любые рёбра сети, в том числе и рёбра, по которым компоненты кодовых слов передаются в чистом виде, например мнимые рёбра. Тогда наблюдателю доступны для исследования частичные векторы значений $\mathcal{F}_{\mathcal{T}_1}(\mathbf{x}(1)), \dots, \mathcal{F}_{\mathcal{T}_l}(\mathbf{x}(l))$, где в векторе $\mathcal{F}_{\mathcal{T}_i}(\mathbf{x}(i))$ длины μ_i координаты помечены рёбрами из \mathcal{T}_i и для каждого $e \in \mathcal{T}_i$ координата с соответствующей меткой имеет значение $\tilde{f}_e(\mathbf{x}(i))$, $i \in \{1, \dots, l\}$ (см. (3)). Пусть для $i \in \{1, \dots, l\}$ случайный вектор $\mathbf{Y}_{\mathcal{T}_i}(i)$ моделирует распределение соответствующего вектора значений вида $\mathcal{F}_{\mathcal{T}_i}(\mathbf{x}(i))$. Неопределённость наблюдателя при l -кратном подслушивании, соответствующем набору $\mathcal{T}_1, \dots, \mathcal{T}_l$, определим естественным образом как условную энтропию

$$\Delta_{\mathcal{T}_1, \dots, \mathcal{T}_l} = H(\mathbf{S} | \mathbf{Y}_{\mathcal{T}_1}(1), \dots, \mathbf{Y}_{\mathcal{T}_l}(l)). \quad (5)$$

В общем случае предполагается, что в сети существует наблюдатель, который может произвольно выбирать набор $\mathcal{T}_1, \dots, \mathcal{T}_l$, $|\mathcal{T}_i| = \mu_i$, $i = 1, \dots, l$. Поэтому введём обозначение для минимально возможной неопределённости наблюдателя при заданном наборе (μ_1, \dots, μ_l) :

$$\Delta(\mu_1, \dots, \mu_l) = \min_{\mathcal{T}_i \subset \mathcal{E}, |\mathcal{T}_i| = \mu_i, i \in \{1, \dots, l\}} \{\Delta_{\mathcal{T}_1, \dots, \mathcal{T}_l}\}. \quad (6)$$

В случае, когда $\mu_1 = \dots = \mu_l = \mu$, величину $\Delta(\mu_1, \dots, \mu_l)$ будем обозначать $\Delta^{(l)}(\mu)$.

2. Оценка меры неопределённости при l -кратном наблюдении

Предполагается, что наблюдателю известен факторный код, проверочная матрица базового кода и матрицы сетевых линейных преобразований вида (1) и (2). В случае, когда для всех μ_i , $i \in \{1, \dots, l\}$, выполняется равенство $\Delta(\mu_i) = k$, будем говорить, что обеспечена совершенная защита. Если же это равенство не выполняется для некоторых $j \in \{1, \dots, l\}$, то наблюдатель может попытаться выбрать подмножества наблюдаемых рёбер так, чтобы максимально уменьшить множество претендентов. Отметим, что существенным отличием от перехвата в канале является то, что наблюдатель наблюдает не координаты векторов в чистом виде, а их линейные комбинации.

2.1. С л у ч а й $l = 1$

Пусть информационный вектор $\mathbf{s} \in \mathbb{F}_q^k$ кодируется с помощью факторного кода $(\mathbb{F}_q^n/\mathcal{C})$ в вектор $\mathbf{x} = (x_1, \dots, x_n)$. При передаче по сети вектора \mathbf{x} по рёбрам графа передаются компоненты x_j , $j \in \{1, \dots, n\}$, и их линейные комбинации. Пусть \mathcal{T} — множество наблюдаемых рёбер, $|\mathcal{T}| = \mu$, H_1 — матрица вида

$$H_1 = \left[\tilde{\mathbf{f}}_{e_1}, \dots, \tilde{\mathbf{f}}_{e_\mu} \right],$$

где $e_i \in \mathcal{T}$, $i = 1, \dots, \mu$. Другими словами, H_1 — матрица, состоящая из столбцов линейных преобразований вида (2) над координатами вектора \mathbf{x} , $r = \text{rank}(H_1)$. Тогда после подслушивания наблюдателю доступен вектор \mathbf{y} вида

$$\mathbf{y} = \mathcal{F}_{\mathcal{T}}(\mathbf{x}) = \mathbf{x}H_1.$$

Отметим, что наблюдателю известна матрица H_1 линейного преобразования координат и результат преобразования \mathbf{y} , а вектор \mathbf{x} неизвестен. Без потери общности можно полагать, что ранг матрицы H_1 равен μ , т. е. $r = \mu$. В противном случае подслушивание наблюдателя будет неоптимальным, так как какое-то из перехватываемых рёбер будет иметь значение, выражаемое линейно через другие перехватываемые значения. Поэтому как минимум одно из перехватываемых рёбер будет лишним. Таким образом, наблюдателю доступен для исследования вектор $\mathbf{y} \in \mathbb{F}_q^\mu$, составленный из наблюдаемых значений, передаваемых по μ рёбрам. Пусть \mathcal{K} — $(n, n - r)$ -код с проверочной матрицей H_1^T . Для полноты изложения приведём простую лемму.

Лемма 1. Пусть \mathcal{K}, \mathcal{C} — подпространства \mathbb{F}_q^n , $\widehat{\mathcal{C}} = \mathcal{K} \cap \mathcal{C}$. Если смежные классы \mathbf{a} из $\mathbb{F}_q^n/\mathcal{C}$ и \mathbf{b} из $\mathbb{F}_q^n/\mathcal{K}$ пересекаются, то $|\mathbf{a} \cap \mathbf{b}| = q^{\dim(\widehat{\mathcal{C}})}$.

Доказательство. Так как $\widehat{\mathcal{C}} \subset \mathcal{C}$ и $\widehat{\mathcal{C}} \subset \mathcal{K}$, то можно построить разбиения подпространств \mathcal{C} и \mathcal{K} : $\mathcal{C}/\widehat{\mathcal{C}}, \mathcal{K}/\widehat{\mathcal{C}}$. Смежные классы $\mathbf{a} \in \mathcal{C}/\widehat{\mathcal{C}}$ и $\mathbf{b} \in \mathcal{K}/\widehat{\mathcal{C}}$ представим в следующем виде:

$$\mathbf{a} = \bigcup_{\tilde{\mathbf{a}}} \{\tilde{\mathbf{a}} + \widehat{\mathcal{C}}\}, \quad \mathbf{b} = \bigcup_{\tilde{\mathbf{b}}} \{\tilde{\mathbf{b}} + \widehat{\mathcal{C}}\},$$

где $\tilde{\mathbf{a}} \in \mathcal{C} \setminus \widehat{\mathcal{C}}$; $\tilde{\mathbf{b}} \in \mathcal{K} \setminus \widehat{\mathcal{C}}$. Так как смежный класс \mathbf{a} из $\mathbb{F}_q^n/\mathcal{C}$ пересекается со смежным классом \mathbf{b} из $\mathbb{F}_q^n/\mathcal{K}$, то существуют $\tilde{\mathbf{a}} \in \mathcal{C} \setminus \widehat{\mathcal{C}}$, $\tilde{\mathbf{b}} \in \mathcal{K} \setminus \widehat{\mathcal{C}}$, $\widehat{\mathcal{C}}_1, \widehat{\mathcal{C}}_2 \in \widehat{\mathcal{C}}$, такие, что $\tilde{\mathbf{a}} + \widehat{\mathcal{C}}_1 = \tilde{\mathbf{b}} + \widehat{\mathcal{C}}_2$. Тогда для всех $\widehat{\mathcal{C}} \in \widehat{\mathcal{C}}$ справедливо равенство $\tilde{\mathbf{a}} + \widehat{\mathcal{C}}_1 + \widehat{\mathcal{C}} = \tilde{\mathbf{b}} + \widehat{\mathcal{C}}_2 + \widehat{\mathcal{C}}$. Следовательно, $|\mathbf{a} \cap \mathbf{b}| = q^{\dim(\widehat{\mathcal{C}})}$. ■

Следствие 1. Пусть \mathcal{K}, \mathcal{C} — подпространства \mathbb{F}_q^n , $\widehat{\mathcal{C}} = \mathcal{K} \cap \mathcal{C}$. Тогда каждый смежный класс из $\mathbb{F}_q^n/\mathcal{K}$ пересекается с $q^{\dim(\mathcal{K}) - \dim(\widehat{\mathcal{C}})}$ смежными классами из $\mathbb{F}_q^n/\mathcal{C}$.

Теорема 1. Пусть \mathcal{T} — множество наблюдаемых рёбер, $|\mathcal{T}| = \mu$, H_1 — соответствующая множеству \mathcal{T} матрица линейных преобразований вида (2.1), \mathcal{K} — линейный код с проверочной матрицей H_1 , \mathcal{C} — базовый код факторного кода $(\mathbb{F}_q^n/\mathcal{C})$. Тогда

$$\Delta_{\mathcal{T}} = H(\mathbf{S}|\mathbf{Y}_{\mathcal{T}}) = \dim(\mathcal{K}) - \dim(\mathcal{K} \cap \mathcal{C}). \quad (7)$$

Доказательство. Воспользуемся определением энтропии:

$$\begin{aligned} H(\mathbf{S}|\mathbf{Y}_{\mathcal{T}}) &= \sum_{\mathbf{y} \in \mathbb{F}_q^\mu} p(\mathbf{y}) H(\mathbf{S}|\mathbf{y}) = - \sum_{\mathbf{y} \in \mathbb{F}_q^\mu} \sum_{\mathbf{s} \in \mathbb{F}_q^k} p(\mathbf{y}) p(\mathbf{s}|\mathbf{y}) \log p(\mathbf{s}|\mathbf{y}), \\ H(\mathbf{S}|\mathbf{y}) &= \sum_{\mathbf{s} \in \mathbb{F}_q^k} p(\mathbf{s}|\mathbf{y}) I(\mathbf{s}|\mathbf{y}) = - \sum_{\mathbf{s} \in \mathbb{F}_q^k} p(\mathbf{s}|\mathbf{y}) \log p(\mathbf{s}|\mathbf{y}). \end{aligned}$$

Пусть \mathbf{y} — конкретный вектор наблюдаемых значений, а \mathbf{s} — конкретный информационный вектор. Представим $p(\mathbf{s}|\mathbf{y})$ в виде

$$p(\mathbf{s}|\mathbf{y}) = \frac{p(\mathbf{s}, \mathbf{y})}{p(\mathbf{y})} = \frac{p(\mathbf{y}|\mathbf{s})p(\mathbf{s})}{p(\mathbf{y})}.$$

Так как все информационные блоки появляются с одинаковой вероятностью, $p(\mathbf{s}) = 1/q^k$. Найдём $p(\mathbf{y}|\mathbf{s})$:

$$p(\mathbf{y}|\mathbf{s}) = \sum_{\mathbf{x} \in \mathcal{C}_{\mathbf{s}}} p(\mathbf{x}|\mathbf{s})p(\mathbf{y}|\mathbf{x}) = \frac{1}{q^{(n-k)}} \sum_{\mathbf{x} \in \mathcal{C}_{\mathbf{s}} \cap K_{\mathbf{y}}} p(\mathbf{y}|\mathbf{x}) = \frac{|\mathcal{C}_{\mathbf{s}} \cap K_{\mathbf{y}}|}{q^{(n-k)}},$$

где $K_{\mathbf{y}}$ — смежный класс из \mathbb{F}^n/\mathcal{K} , соответствующий синдрому \mathbf{y} . Так как $\text{rank}(H_1) = r$ и $\mathbf{y} = \mathbf{x}H_1$, легко проверить, что $p(\mathbf{y}) = 1/q^r$. В итоге получим

$$H(\mathbf{S}|\mathbf{y}) = - \sum_{\mathbf{s} \in \mathcal{S}} p(\mathbf{s}|\mathbf{y}) \log p(\mathbf{s}|\mathbf{y}) = - \sum_{\mathbf{s} \in \mathcal{S}} q^{r-n} |\mathcal{C}_{\mathbf{s}} \cap K_{\mathbf{y}}| \log_q (q^{r-n} |\mathcal{C}_{\mathbf{s}} \cap K_{\mathbf{y}}|).$$

По лемме 1 $|\mathcal{C}(\mathbf{s}) \cap K(\mathbf{y})| = |\mathcal{C} \cap \mathcal{K}| = q^{\dim(\mathcal{C} \cap \mathcal{K})}$, поэтому

$$\begin{aligned} H(\mathbf{S}|\mathbf{y}) &= - \sum_{\mathbf{s} \in \mathbb{F}^k} q^{r-n} q^{\dim(\mathcal{C} \cap \mathcal{K})} ((r-n) + \dim(\mathcal{C} \cap \mathcal{K})) = \\ &= - \sum_{\mathbf{s} \in \mathbb{F}^k} q^{r-n+\dim(\mathcal{C} \cap \mathcal{K})} (r-n + \dim(\mathcal{C} \cap \mathcal{K})). \end{aligned}$$

По следствию 1 имеем, что для заданного вектора наблюдаемых значений \mathbf{y} имеется $q^{n-r-\dim(\mathcal{C} \cap \mathcal{K})}$ кандидатов на информационный блок. Поэтому

$$\begin{aligned} H(\mathbf{S}|\mathbf{y}) &= -q^{r-n+\dim(\mathcal{C} \cap \mathcal{K})} q^{n-r-\dim(\mathcal{C} \cap \mathcal{K})} (r-n + \dim(\mathcal{C} \cap \mathcal{K})) = \\ &= n - r - \dim(\mathcal{C} \cap \mathcal{K}) = \dim(\mathcal{K}) - \dim(\mathcal{K} \cap \mathcal{C}). \end{aligned}$$

Так как $H(\mathbf{S}|\mathbf{y})$ не зависит от \mathbf{y} , то $H(\mathbf{S}|\mathbf{Y}_{\mathcal{T}}) = \dim(\mathcal{K}) - \dim(\mathcal{K} \cap \mathcal{C})$. ■

Полученный в теореме 1 результат можно обобщить на случай, когда множество \mathcal{T} неизвестно, а известно только то, что наблюдатель может выбирать произвольное множество мощности μ . В этом случае, с точки зрения защиты, необходимо знать гарантированный уровень неопределённости при заданном μ . Пусть $\mathcal{H}(\mu)$ — множество всех $(n \times \mu)$ -матриц линейных преобразований, которые можно построить по μ ребрам сети; $\mathcal{K}(\mu)$ — множество всех линейных кодов, для каждого из которых найдется проверочная матрица из $\mathcal{H}(\mu)$. Тогда из (6) получим

$$\Delta(\mu) = \min_{K \in \mathcal{K}(\mu)} \{ \dim(K) - \dim(K \cap \mathcal{C}) \}.$$

2.2. С л у ч а й $l > 1$

Далее для удобства набор кодовых векторов $\mathbf{x}(1), \dots, \mathbf{x}(l) \in \mathbb{F}_q^n$, соответствующий одному информационному блоку $\mathbf{s} \in \mathbb{F}_q^k$, назовём однородной выборкой объёма l .

Теорема 2. Пусть наблюдателю доступна однородная выборка объёма l , \mathcal{T}_i — подмножество подслушиваемых рёбер в момент времени i , $|\mathcal{T}_i| = \mu_i$, H_i — соответствующая множеству \mathcal{T}_i матрица линейных преобразований:

$$H_i = \left[\tilde{\mathbf{f}}_{e_{i,1}}, \dots, \tilde{\mathbf{f}}_{e_{i,\mu_i}} \right].$$

Здесь $e_{i,j} \in \mathcal{T}_i$, $j \in \{1, \dots, \mu_i\}$; $\tilde{\mathbf{f}}_{e_{i,j}}$ — глобальное кодирующее отображение для ребра $e_{i,j} \in \mathcal{T}_i$, $i \in \{1, \dots, l\}$; \mathcal{C} — базовый код факторного кода \mathbb{F}^n/\mathcal{C} . Тогда

$$\Delta_{\mathcal{T}_1, \dots, \mathcal{T}_l} = k + \dim(\mathcal{L}(M_1) \cap \mathcal{L}(M_2)) - \sum_{i=1}^l \dim(\mathcal{C}^\perp \cap \mathcal{L}(H_i^T)), \quad (8)$$

где

$$M_1 = \begin{pmatrix} H_1^T & 0 & 0 & \dots & 0 & 0 \\ \dots & \dots & \dots & \dots & \dots & \dots \\ 0 & 0 & 0 & \dots & 0 & H_1^T \end{pmatrix}; \quad M_2 = \begin{pmatrix} H & -H & 0 & \dots & 0 & 0 \\ \dots & \dots & \dots & \dots & \dots & \dots \\ H & 0 & 0 & \dots & 0 & -H \end{pmatrix};$$

$\mathcal{L}(A)$ — линейная оболочка, натянутая на строки матрицы A .

Доказательство. После l -го подслушивания наблюдателю доступны векторы $\mathbf{y}(i)$ следующего вида:

$$\mathbf{y}(i) = \mathcal{F}_{\mathcal{T}_i}(\mathbf{x}(i)) = \mathbf{x}(i)H_i, \quad i = 1, \dots, l. \quad (9)$$

Из формулы (5) получим

$$\begin{aligned} \Delta_{\mathcal{T}_1, \dots, \mathcal{T}_l} &= \mathbb{H}(\mathbf{S} | \mathbf{Y}_{\mathcal{T}_1}(1), \dots, \mathbf{Y}_{\mathcal{T}_l}(l)) = \mathbb{H}(\mathbf{S} | \mathbf{X}_1, \dots, \mathbf{X}_l, \mathbf{Y}_{\mathcal{T}_1}(1), \dots, \mathbf{Y}_{\mathcal{T}_l}(l)) + \\ &+ \mathbb{H}(\mathbf{X}_1, \dots, \mathbf{X}_l | \mathbf{Y}_{\mathcal{T}_1}(1), \dots, \mathbf{Y}_{\mathcal{T}_l}(l)) - \mathbb{H}(\mathbf{X}_1, \dots, \mathbf{X}_l | \mathbf{S}, \mathbf{Y}_{\mathcal{T}_1}(1), \dots, \mathbf{Y}_{\mathcal{T}_l}(l)) = \\ &= \mathbb{H}(\mathbf{X}_1, \dots, \mathbf{X}_l | \mathbf{Y}_{\mathcal{T}_1}(1), \dots, \mathbf{Y}_{\mathcal{T}_l}(l)) - \mathbb{H}(\mathbf{X}_1, \dots, \mathbf{X}_l | \mathbf{S}, \mathbf{Y}_{\mathcal{T}_1}(1), \dots, \mathbf{Y}_{\mathcal{T}_l}(l)). \end{aligned}$$

Вычислим каждое из слагаемых в последнем равенстве. Пусть $(\mathbf{x}(1), \dots, \mathbf{x}(l))$ — какая-то реализация для набора случайных векторов $\mathbf{X}_1, \dots, \mathbf{X}_l$. По условию теоремы векторы $\mathbf{x}(1), \dots, \mathbf{x}(l)$ соответствуют одному информационному блоку, т. е. принадлежат одному смежному классу. Поэтому выполняются следующие равенства:

$$H [\mathbf{x}^T(1) - \mathbf{x}^T(i)] = 0, \quad i \in \{2, \dots, l\}. \quad (10)$$

Перепишем равенства (9) и (10) вместе в матричном виде:

$$M [\mathbf{x}(1), \dots, \mathbf{x}(l)]^T = [\mathbf{y}(1), \dots, \mathbf{y}(l), \underbrace{0, \dots, 0}_{l-1}]^T, \quad (11)$$

где $M = \begin{pmatrix} M_1 \\ M_2 \end{pmatrix}$. Мощность множества решений системы (11) равна $q^{ln - \text{rank}(M)}$. Таким образом, $\mathbb{H}(\mathbf{X}_1, \dots, \mathbf{X}_l | \mathbf{Y}_{\mathcal{T}_1}(1), \dots, \mathbf{Y}_{\mathcal{T}_l}(l)) = ln - \text{rank}(M)$, где

$$\text{rank}(M) = \sum_{i=1}^l \text{rank}(H_i^T) + (l-1) \text{rank}(H) - \dim(\mathcal{L}(M_1) \cap \mathcal{L}(M_2)).$$

Вычислим $\mathbb{H}(\mathbf{X}_1, \dots, \mathbf{X}_l | \mathbf{S}, \mathbf{Y}_{\mathcal{T}_1}(1), \dots, \mathbf{Y}_{\mathcal{T}_l}(l))$. Так как при фиксированном \mathbf{s} случайные векторы \mathbf{X}_i и \mathbf{Y}_j , $i \neq j$, независимы, получим

$$\mathbb{H}(\mathbf{X}_1, \dots, \mathbf{X}_l | \mathbf{S}, \mathbf{Y}_{\mathcal{T}_1}(1), \dots, \mathbf{Y}_{\mathcal{T}_l}(l)) = \sum_{i=1}^l \mathbb{H}(\mathbf{X}_i | \mathbf{S}, \mathbf{Y}_{\mathcal{T}_i}(i)). \quad (12)$$

Отметим, что для $i \in \{1, \dots, l\}$

$$\begin{aligned} \mathbb{H}(\mathbf{X}_i | \mathbf{S}, \mathbf{Y}_{\mathcal{T}_i}(i)) &= \mathbb{H}(\mathbf{X}_i | \mathbf{Y}_{\mathcal{T}_i}(i)) - \mathbb{H}(\mathbf{S} | \mathbf{Y}_{\mathcal{T}_i}(i)) = \\ &= \dim(\mathcal{L}^\perp(H_i^T)) - (\dim(\mathcal{L}^\perp(H_i^T)) - \dim(\mathcal{L}^\perp(H_i^T) \cap \mathcal{C})) = \dim(\mathcal{L}^\perp(H_i^T) \cap \mathcal{C}) = n - \text{rank} \begin{pmatrix} H \\ H_i^T \end{pmatrix}. \end{aligned}$$

Следовательно, принимая во внимание (12), получаем

$$\begin{aligned} H(\mathbf{X}_1, \dots, \mathbf{X}_l | \mathbf{S}, \mathbf{Y}_{\mathcal{T}_1}(1), \dots, \mathbf{Y}_{\mathcal{T}_l}(l)) &= \sum_{i=1}^l \left(n - \text{rank} \begin{pmatrix} H \\ H_i^T \end{pmatrix} \right) = \\ &= ln - l \cdot \text{rank}(H) - \sum_{i=1}^l \left[\text{rank}(H_i^T) - \dim(\mathcal{C}^\perp \cap \mathcal{L}_{H_i^T}) \right]. \end{aligned}$$

Собирая полученные выражения, запишем

$$H(\mathbf{S} | \mathbf{Y}_{\mathcal{T}_1}(1), \dots, \mathbf{Y}_{\mathcal{T}_l}(l)) = \text{rank}(H) + \dim(\mathcal{L}(M_1) \cap \mathcal{L}(M_2)) - \sum_{i=1}^l \dim(\mathcal{C}^\perp \cap \mathcal{L}(H_i^T)).$$

Теорема доказана. ■

Отметим, что порядок подслушивания множеств \mathcal{T}_i не влияет на значение неопределённости $\Delta_{\mathcal{T}_1, \dots, \mathcal{T}_l}$. Ценным с практической точки зрения следствием представляется тот факт, что если матрицы сетевых линейных преобразований совпадают, то никакое повторное наблюдение не принесёт дополнительной информации.

Следствие 2. Если $\mathcal{L}(H_i^T) = \mathcal{L}(H_1^T)$ для всех $i \in \{1, \dots, l\}$, то $\Delta_{\mathcal{T}_1} = \Delta_{\mathcal{T}_1, \dots, \mathcal{T}_l}$.

Доказательство. Вычислим $\Delta_{\mathcal{T}_1, \dots, \mathcal{T}_l}$:

$$\begin{aligned} \Delta_{\mathcal{T}_1, \dots, \mathcal{T}_l} &= k + (l - 1) \dim(\mathcal{L}(H_1^T) \cap \mathcal{L}(H)) - l \dim(\mathcal{L}(H_1^T) \cap \mathcal{L}(H)) = \\ &= k - \dim(\mathcal{L}(H_1^T) \cap \mathcal{L}(H)). \end{aligned}$$

С другой стороны, согласно (7),

$$\begin{aligned} \Delta_{\mathcal{T}_1} &= \dim(\mathcal{L}^\perp(H_1^T)) - \dim(\mathcal{L}^\perp(H_1^T) \cap \mathcal{L}^\perp(H)) = \\ &= \dim(\mathcal{L}^\perp(H_1^T)) - [\dim(\mathcal{L}^\perp(H_1^T)) + \dim(\mathcal{L}^\perp(H)) - \dim(\mathcal{L}^\perp(H_1^T) \cup \mathcal{L}^\perp(H))] = \\ &= \dim(\mathcal{L}^\perp(H_1^T) \cup \mathcal{L}^\perp(H)) - \dim(\mathcal{L}^\perp(H)) = \\ &= n - \dim(\mathcal{L}(H_1^T) \cap \mathcal{L}(H)) - [n - k] = k - \dim(\mathcal{L}(H_1^T) \cap \mathcal{L}(H)) = \Delta_{\mathcal{T}_1, \dots, \mathcal{T}_l}. \end{aligned}$$

Следствие доказано. ■

Следствие 2, в частности, может позволить подстраивать защиту информации в сети в тех ситуациях, когда наблюдатель не может по своему усмотрению выбирать множества подслушиваемых рёбер.

Из следствия 2 получаем, что если наблюдатель подслушивает рёбра из множества \mathcal{T} мощности μ , то $\Delta_{\mathcal{T}} = k - \dim(\mathcal{L}(H_1^T) \cap \mathcal{L}(H))$. Если, как и раньше, $\text{rank}(H_1) = \mu$, то минимальное значение величины $\Delta_{\mathcal{T}}$ равно $\Delta^{\mu, \min} = k - \min\{k, \mu\}$, а максимальное — $\Delta^{\mu, \max} = k - \max\{0, \mu - (n - k)\}$. Используя $\Delta^{\mu, \min}$ и $\Delta^{\mu, \max}$, можно получить грубую оценку $\bar{l}(\mu)$ количества перехватов в сети, после которых мера неопределённости $\Delta^{(l)}(\mu)$ будет равна нулю. Для этого воспользуемся формулой (1.23) из [11, с. 38] и получим

$$\left[\left(1 - \log_{|\mathbb{F}_q^k| - 1} \left(q^{\Delta^{\mu, \min}} - 1 \right) \right)^{-1} \right] \leq \bar{l}(\mu) - 1 \leq \left[\left(1 - \log_{|\mathbb{F}_q^k| - 1} \left(q^{\Delta^{\mu, \max}} - 1 \right) \right)^{-1} \right]. \quad (13)$$

2.3. Пример вычисления меры неопределённости

Рассмотрим сеть, изображённую на рис. 1. Пусть $(\mathbb{F}_2^8/\mathcal{C})$ — факторный код, где \mathcal{C} — самодуальный код Рида — Маллера с проверочной матрицей

$$H = \begin{pmatrix} 1 & 1 & 1 & 1 & 1 & 1 & 1 & 1 \\ 0 & 0 & 0 & 0 & 1 & 1 & 1 & 1 \\ 0 & 0 & 1 & 1 & 0 & 0 & 1 & 1 \\ 0 & 1 & 0 & 1 & 0 & 1 & 0 & 1 \end{pmatrix}.$$

Пусть в сети на вход источника S по мнимым рёбрам загружается кодовое слово $\mathbf{x} = (x_1, \dots, x_8)$ факторного кода $(\mathbb{F}_2^8/\mathcal{C})$; в узлах C , F , I и L выполняется суммирование (в поле \mathbb{F}_2) приходящих по входным рёбрам битов.

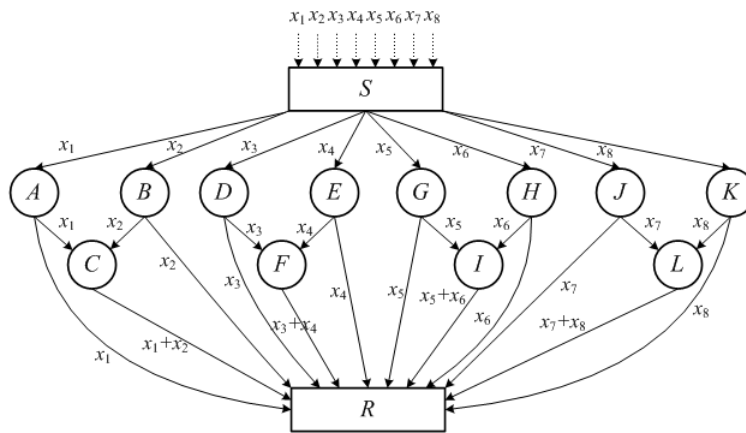


Рис. 1. Сеть с кодированием в узлах C , F , I , L

Для данной сети вычислена неопределённость $\Delta^{(l)}(\mu)$ наблюдателя для l -кратного подслушивания в зависимости от μ . Результаты вычислений, приведённые в таблице, показывают, что при $\mu = 1$ повторный перехват при любом l не позволяет снизить неопределённость меньше 4. То есть в этом случае обеспечивается совершенная защита даже при l -кратном подслушивании при любом l . В то же время при $\mu = 2$ необходимо и достаточно четырёх повторных перехватов для полного снятия неопределённости. Примером такой последовательности перехватываемых рёбер может быть последовательность $(\{CR, FR\}, \{CR, IR\}, \{CR, LR\}, \{IR, LR\})$.

Результаты вычисления $\Delta^{(l)}(\mu)$

		μ			
		1	2	3	4
l	1	4	3	1	0
	2	4	2	0	0
	3	4	1	0	0
	4	4	0	0	0

Вспользуемся оценкой (13) для этого примера. Непосредственные вычисления показывают, что при $\mu = 1$ значение величины $\bar{l}(\mu)$ лежит в границах от ∞ до ∞ (значение дроби $1/0$ здесь и далее полагается равным ∞), что соответствует точному результату, согласно которому совершенная защита при l -кратном подслушивании обеспечивается при всех l . В то же время при $\mu = 2$ получим $3 \leq \bar{l}(\mu) \leq \infty$; из таблицы

видно, что полностью неопределённость снимается при $l = 4$. При $\mu = 3$ нижняя оценка $\bar{l}(\mu) = 2$ совпадает с точным значением l , при котором неопределённость снимается полностью.

Отметим, что, помимо грубой оценки (13) для $\Delta^{(l)}(\mu)$, представляет интерес аналитическое уточнение формулы вычисления меры неопределённости $\Delta(\mu_1, \dots, \mu_l)$ для конкретных базовых и сетевых кодов, так как по полученной в работе формуле (8) эта мера может быть вычислена только алгоритмически перебором всех возможных наборов подмножеств подслушиваемых рёбер. В [12] получена формула вычисления меры стойкости кодового зашумления в случае, когда данные многократно передаются по каналу, а не по линейной сети. Там же эту формулу удалось аналитически уточнить только в частных случаях для базового кода Хэмминга и некоторых кодов Рида — Маллера. Уточнение формулы (8) представляется задачей не менее трудной, чем уточнение аналогичной формулы, полученной в [12], так как канал можно рассматривать как тривиальный случай линейной сети.

ЛИТЕРАТУРА

1. Габидуллин Э. М., Пилипчук Н. И., Колыбельников А. И. и др. Сетевое кодирование // Труды МФТИ. 2009. Т. 1. № 2. С. 3–25.
2. Yeung R. W. and Zhang Z. Distributed source coding for satellite communications // IEEE Trans. Inform. Theory. 1999. V. 1. No. 45. P. 1111–1120.
3. Ahlswede R., Cai N., Li S. R., and Yeung R. W. Network information flow // IEEE Trans. Inform. Theory. 2000. V. 46. No. 6. P. 1204–1216.
4. Бараш Л. С. Сетевое кодирование // Компьютерное обозрение. 2009. Т. 5. № 671. С. 20–31.
5. Rouayheb S. E. and Soljanin E. On wiretap networks II // Proc. 2007 IEEE Intern. Symp. (ISIT-2007). Nice, France, 24–29 June 2007. P. 551–555.
6. Rouayheb S. E., Soljanin E., and Sprinston A. Secure network coding for wiretap networks of type II // IEEE Trans. Inform. Theory. 2012. V. 58. No. 3. P. 1361–1371.
7. Ozarov H. and Wyner A. D. Wire-Tap Channel II // BLTj. 1984. V. 63. No. 10. P. 2135–2157.
8. Винничук И. И., Газарян Ю. О., Косолапов Ю. В. Стойкость кодового зашумления в рамках модели многократного частичного наблюдения кодовых сообщений // Материалы XII Междунар. науч.-практич. конф. «Информационная безопасность». Таганрог: Известия ЮФУ, 2012. С. 258–263.
9. Yeung R. W., Li S. R., Cai N., et al. Network coding theory, foundation and trends // Communic. Inform. Theory. 2005. V. 2. No. 4. С. 241–381.
10. Деундяк В. М., Косолапов Ю. В. Математическая модель канала с перехватом второго типа // Изв. вузов. Северо-Кавказский регион, сер. Естественные науки. 2008. Т. 3. № 145. С. 3–8.
11. Шанкин Г. П. Ценность информации. Вопросы теории и приложений. М.: Филоматис, 2004. 128 с.
12. Деундяк В. М., Косолапов Ю. В. Об одном методе снятия неопределённости в канале с помехами в случае применения кодового зашумления // Известия ЮФУ. Технические науки. 2014. Т. 2. № 151. С. 197–208.